

**Abstract**

## Tandlæger kan identificere osteoporose

Osteoporose er en sygdom, der rammer et stort antal personer, især postmenopausale og ældre kvinder. Følgerne er en hyppig forekomst af knoglebrud, og sygdommen udgør et betydeligt folkesundhedsmæssigt problem.

Medicinske undersøgelser er kompliceerde og dyre, og der foretages ikke systematiske scanninger af den ældre kvindelige befolkning. Tandlægerne har mulighed for ud fra røntgenundersøgelser udført i anden anledning i daglig praksis og ved simpel udspørgen med en vis sikkerhed at identificere kvinder med osteoporose. De kan dermed bidrage til tidlig diagnostik af sygdommen og dermed til forebyggelse af dennes alvorlige følger.

Emnet har været genstand for intens forskning i en årrække. Senest er der udført en stor europæisk multicenterundersøgelse (OSTEODENT-projektet).

I nærværende oversigtsartikel gen-nemgås de forhåndenværende metoder til identifikation og deres diagnostiske værdi med vægt på resultaterne af OSTEODENT-projektet.

# Identifikation i tandlægepraksis af patienter med osteoporose

Ib Sewerin, docent, dr.odont. Odontologisk Institut, Det Sundhedsvidenskabelige Fakultet, Københavns Universitet

Osteoporose (knogleskørhed) betegner en systemisk knoglesygdom, der er karakteriseret ved en reduceret knoglemasse (osteopeni) samt ombygninger af knoglestrukturen, der tilsammen medfører en reduceret knoglestyrke. Herved opstår en øget risiko for knogleskader. De almindeligste former er underarms- og hoftebrud samt ryghvirvelsammenfald. Osteoporose medfører ingen kliniske symptomer. Første sygdomsmanifestation er derfor oftest et knoglebrud.

Sygdommen udgør et stort sundhedsproblem. Det skønnes, at ca. 300.000 danskere har osteoporose (1). Der opstår ca. 10.000 hoftebrud årligt, og ca. hver tredje kvinde vil opleve et hoftebrud i løbet af sit livsforløb (2).

Trots sygdommens udbredelse er det hverken praktisk eller økonomisk muligt at foretage befolkningsscreening (2,3). Sundhedsstyrelsen anbefaler imidlertid, at personer, der har en særlig risiko for at få osteoporotiske knoglebrud, bør tilbydes medicinsk behandling (3). Med henblik på iværksættelse af profylaktiske foranstaltninger over for følger (frakturer) er identifikation af patienter, der er ramt af sygdommen eller er i en højrisikogruppe, derfor vigtig.

Tandlæger har hyppig patientkontakt, og tænder og kæber hører til de hyppigst røntgenfotograferede regioner/organer/strukturer i organismen. Tandlægerne kan derfor bidrage til identifikation af patienter med eller i risiko for at udvikle osteoporose (4,5). Det er påpeget, at tandlæger har samme sundhedsfaglige ansvar mht. til diagnostik af osteoporose som til diagnostik af oral cancer og til forebyggelse af tobaksskader (6).

Formålet med nærværende artikel er at beskrive metoder til identifikation i tandlægepraksis af patienter med osteoporose eller tilhørende en højrisikogruppe mhp. henvisning til lægelig udredning.

**Emneord:**

**Osteoporosis;  
postmenopausal;  
bone loss**

**Inddelinger og definitioner**

Osteoporose inddeltes traditionelt i primær osteoporose, hvor der ikke foreligger nogen påviselig udløsende årsag, og sekundær

osteoporose, hvor tilstanden er udløst af en kendt lidelse eller behandling (2). Yderligere kan sygdommen inddeltes i postmenopausal osteoporose, der er hormonelt betinget, og som rammer kvinder, og i senil osteoporose, som er aldersbetinget og rammer såvel kvinder som mænd.

Som diagnostisk kriterium anvendes en værdi for BMD (Bone Mineral Density), der afviger mindst 2,5 standarddeviationer fra »peak bone mass« af den gennemsnitlige BMD-værdi målt i enten hofteregion, underarm eller columna lumbalis (L2-L4) hos unge raske kvinder (2,3,7,8). Knogletæthed måles i g/cm<sup>2</sup>. Værdier mellem 1 og 2,5 standarddeviationer er udtryk for kalciumfattige knogler (osteopeni).

### Diagnostik: guldstandard

BMD, der i alle undersøgelser betragtes som guldstandard for en patients knoglestatus, måles med en dual-foton- eller dual-røntgen-knoglescanner. Undersøgelsesmetoden, som introduceredes i 1987 (9), kaldes DEXA (Dual Energy X-ray Absorptiometry) eller blot DXA.

### Diagnostik: kliniske risikoindices

Der er udviklet flere metoder til sygdomsidentifikation, der bygger på selvrapportring og anamnestisk registrering af risikofaktorer, kombineret med simple målinger af vægt mv. Oplysningerne og fundene omsættes i indices, som har vist sig at have en betydelig prædictiv værdi (10,11) og især at øge den prædictive værdi af dento-maxillo-faciale radiografiske mål (5,12,13). Disse indices er derfor særligt anvendelige i tandlægepraksis (se senere).

Eksempler på indices er OPERA (Osteoporosis Prescreening Risk Assessment (14), ORAI (Osteoporosis Risk Assessment Instrument) (10), OST (Osteoporosis Self-Assessment Tool) (15,16), OSIRIS (Osteoporosis Index of Risk) (17), SCORE (Simple Calculated Osteoporosis Risk Estimation) (18), SOFSURF (Study of Osteoporotic Fractures Simple Useful Risk Factors) (19).

I Tabel 1 er vist eksempler på indices med tilhørende faktorer og vægtningsværdier, der danner basis for udregning af de forskellige indices.

### Diagnostik: dento-maxillo-faciale registreringer

Kæberne rammes ligesom det øvrige knoglesystem af osteoporotiske forandringer, og kæberne kan scannes ved anvendelse af det samme udstyr, som anvendes ved scanning af kropsknogler. Samtidig er der udviklet en række morfometriske og densitometriske målinger specielt mhp. anvendelse på kæbestrukturer:

#### DEXA-undersøgelse af kæberne

BMD kan måles i kæberne efter samme retningslinjer som i en hvilken som helst anden region. Kæberne er imidlertid karakteriseret ved en uensartet knoglestruktur og tilstedevarsel af tænder. Der skal udvælges et område, der viser få anatomiske variationer, og som er uafhængigt af dentale strukturer. Hyppigt anvendt er den basale del af mandiblen i præmolar- og molar-

Kliniske indices	
Navn – Faktorer	Score
SCORE (18)	
Vægt	÷ 1 pr. 4,5 kg
Østrogenterapi	+ 1 hvis negativ
Alder	+ 3 pr. decennium
Tidl. fraktur efter 45 år	+ 4 pr. fraktur år op til maksimum 12
Reumatoid arthritis	+ 4
Race anden end sort	+ 5
ORAI (10)	
Østrogenterapi	+ 2 hvis negativ
Vægt 60-69 kg	+ 3
Alder 55-64 år	+ 5
Vægt < 60 kg	+ 9
Alder 65-74 år	+ 9
Alder > 75 år	+ 15
OSIRIS (17)	
Alder (år)	÷ 0,2 x alder
Tidl. frakter	÷ 2
Vægt (kg)	+ 0,2 x vægt
Hormonterapi	+ 2
OST (15)	
Vægt (kg)	
Alder (år)	0,2 x (legemsvægt ÷ alder)

Tabel 1. Fire hyppigt anvendte kliniske indices, byggende på simple målinger og anamnestiske registreringer.

Table 1. Four frequently used clinical indices based on simple measurements and subjective registrations.

regionen (7,20). Der findes ikke DEXA-apparatur til måling af kæberne tilgængeligt på markedet.

#### Mandibulær basal cortex-bredde (MCT, mandibular cortical width)

Det har vist sig, at bredden af den mandibulære basale cortex reduceres ved osteoporose. Bredden fremstår tydeligt på panoramaoptagelser og kan måles med stor sikkerhed i præmolar- og molarregionen. Da bredden gerne aftager hen imod angulus mandibulae, skal målingen ske i et standardiseret målepunkt. Ofte anvendes skæringspunktet for en linje gennem foramen mentale vinkelret på en tangent til basis (21), men også punkter længere dorsalt er anvendt (22). Målingen kan ske visuelt med passer (21,23), gradnet (24) eller med computerbaseret aflæsning (22,25,26).

#### Mandibulær bukkal og lingval cortex-bredde

Ligesom den basale cortex undergår forandringer, sker der også ændringer af den bukkale og linguale cortex. Bredden af cortex



hhv. bukkalt og lingvalt kan måles på tomografiske tværsnitsbilder, fx CT-scanninger af mandiblen. Der er anvendt snit både anteriort og posteriort for foramen mentale (27,28).

#### *Mandibulær basal cortex-morfologi*

(MCI/CI, mandibular cortical index)

Foruden at den basale cortex ændres i bredde, sker der også ændringer af knoglestrukturen i retning af, at cortex bliver genstand for en oplosning (7,9). Morfologi og struktur af den basale cortex vurderes på panoramaoptagelser i præmolar- og molarregionen og henføres gerne til én af følgende tre kategorier: 1) den basale cortex fremstår skarpt aftegnet superiort og inferiort, 2) den superiore afgrænsning fremstår uregelmæssig med lakkære erosioner, og 3) cortex fremstår tydeligt porøs og med omfattende substanstab (23,29).

#### *PMI-ratio (panoramic mandibular index)*

Den absolute bredde af den mandibulære basale cortex varierer naturligvis med patientens kæbebygning og statur. I PMI-ratio måles bredden af den basale cortex og omsættes i et indeks i forhold til afstanden fra foramen mentale til basis (30-32).

#### *Bredde af processus alveolaris*

En reduceret knoglemasse kan give sig udslag i en reduceret faciolingval dimension af processus alveolaris i de interdentale områder. Bredden kan måles med skydelære på gipsmodeller (33).

#### *Trabekelstruktur*

Osteoporotiske knogleforandringer menes at ske mere udbredt i spongiøs end i kortikal knogle, givende sig udtryk ved ændringer i trabekelbredde og -tæthed. Strukturen kan vurderes visuelt eller densitometrisk i udvalgte zoner (fx regio 65–56 (31), angulus-regionen eller hjørnetands-/præmolarregionen (34-37).

#### *Fraktalanalyse*

Vurdering af trabekelstrukturen kan også ske ved fraktalanalyse. Udvalgte områder rummende spongiøs knogle digitaliseres. Det er vigtigt at undgå områder med inklusion af tandstrukturen, parodontalspalter o.l. Efter subtraktion skabes binære billeder, der skeletoniseres til kun enkelte pixelrækker, som så danner basis for optællinger af grene og frie ender af knogletrabekler pr. arealenhed (32,34,38).

### **OSTEODENT-projektet**

#### *Omfang og formål*

I 2003 indledtes et multicenterstudie, finansieret af EU's femte rammeprogram, der skulle strække sig over tre år, og som omfattede deltagelse af fem forskningscentre (Athen (Grækenland), Leuven (Belgien), Malmø (Sverige), Manchester (UK) og Amsterdam (Holland)). Formålet var på grundlag af et større pa-

#### **Faktaboks**

- Ved en bredde af den mandibulære basale cortex ud for foramen mentale på under 3 mm på panoramaradiogrammer er der en betydelig risiko for, at kvinden lider af sygdommen eller befinner sig i en højrisikogruppe. Sandsynligheden underbygges ved resorptioner og en porøs struktur af den mandibulære basale cortex.
- Mistanken bestyrkes desuden ved en løs trabekelstruktur iagttaget på intraorale billeder.
- Ved kombination af radiografiske forandringer og enkle kliniske observationer og anamnestiske spørgsmål (se teksten) kan mistanken yderligere underbygges.

tientmateriale og ud fra fælles kriterier at bestemme den/de mest effektive metode(r) til i tandlægepraksis at identificere kvinder med lav BMD/osteoporose.

#### *Patientmaterialet*

Indsamlingen af patienter og data strakte sig over to år. Det endelige materiale omfattede 654 kvinder i alderen 45-70 år. Patienter med formodet sekundær osteoporose og med diverse sygdomme og tilstande med mulig indflydelse på BMD udelukkedes.

#### *Undersøgelser*

Kvinderne fik foretaget DEXA-scanninger af hofteregion, femurkondyl og lumbalhvirvler. De fik desuden foretaget en panoramradiografisk optagelse samt intraorale optagelser af præmolarregionen i over- og underkæben.

#### *Resultater*

Af de 654 kvinder fik 141 (22 %) ved DEXA-undersøgelsen konstateret en BMD-værdi med T-score > 2,5 i mindst én af de tre undersøgte lokalisationer og blev klassificeret som osteoporotiske (5,24,35).

Undersøgelsen har resulteret i publikation af 10 artikler, som omhandler 1) aflæsning af røntgenbilleder med hhv. a) enkle visuelle metoder (13,24,35,39) og b) computerbaserede programmer (5,6,25,36,37,40), samt 2) kombination af aflæsning af røntgenbilleder og brug af kliniske indices (5,13,39).

#### *Mandibulær basal cortex-bredde*

Ved visuel aflæsning med 6 x forstørrelse fandtes i gruppen af kvinder med bredde < 2,7 mm en prævalens af osteoporose på 64 % og hos kvinder med bredde > 3,7 mm en prævalens på 9 % (24).

På grundlag af digitaliserede billeder fandtes en statistisk signifikant forskel i cortex-bredde hos kvinder med og uden osteoporose. Bredden var i gennemsnit 3,0 mm (variation 1,8-5,2 mm) hos osteoporotiske kvinder og 3,7 mm (variation 2,2-5,8 mm) hos raske kvinder. Arealet under en ROC-kurve var 0,82 (5).

Karayianni et al. (13) fandt en specifitet, der for forskellige

observatører varierede mellem 82 % og 90 %, og en sensitivitet på mellem 41 % og 60 %.

#### *Mandibulær basal cortex-morfologi*

Horner et al. (39) lod fem radiologer, hvoraf tre var trænede og to mindre trænede, bedømme røntgenbillederne og klassificere patienterne efter Mandibular Cortex Index (MCI) i henhold til Klemetti et al.s kriterier (29).

Forfatterne konkluderede, at den mandibulære cortex-morfologi var en mindre pålidelig indikator for osteoporose, og at resultaterne var dårligere end ved brug alene af det kliniske OSIRIS-indeks.

Devlin et al. (24) sammenlignede den prædictive værdi af ændringer i mandibulær basal cortex-bredde og af mandibulær basal cortex-morfologi og fandt, at sidstnævnte havde lavere værdi.

#### *Trabekelstruktur*

Værdien af ændringer i trabekelstruktur som prædiktor for osteoporose blev vurderet ved såvel klinisk som densitometrisk aflæsning.

Knoglestrukturen på intraorale optagelser af præmolarregionen i hhv. over- og underkæben blev aflæst visuelt og klassificeret som 1) tæt (dense homogenous), 2) heterogen (heterogenous) eller 3) løs (sparse homogenous). Ved sammenhold med DXA-dokumenterede BMD-værdier konkluderedes, at vurdering af trabekelstrukturen på intraorale røntgenbilleder »is a potential method to identify women at risk of having osteoporosis« (35).

Ud fra en tilsvarende densitometrisk aflæsning konkluderedes, at tætheden (sværtningsgraden) på intraorale præmolar-optagelser repræsenterer »a fair diagnostic accuracy« mht. til at identificere osteoporosepatienter (40).

Ved at kombinere værdier fra over- og underkæben opnåedes en betydelig sikrere prædiktion af BMD, og det betød mindre, om der måltes i »ren« knogle eller i knogle + tandstrukturer (37). Tilsvarende opnåedes en større diagnostisk sikkerhed ved at kombinere værdier fra intraorale billede og panoramaradiogrammer (6).

#### *Kombinerede undersøgelser*

Devlin et al. (5) kombinerede registrering af mandibulær basal cortex-bredde og kliniske data (OSIRIS, Osteoporosis Index of Risk) og konkluderede, at det betød en øget diagnostisk sikkerhed.

#### *Metoder, som ikke indgik i OSTEOENT-projektet*

Flere metoder, som i tidligere undersøgelser har vist ingen eller kun tvivlsom korrelation mellem krops-BMD og dento-maxillo-faciale registreringer, eller som bygger på andre registreringer end radiografiske, blev ikke inkluderet i OSTEOENT-projektet. Det gælder fx DEXA-måling af mandiblen (20), måling af PMI-ratio (30,31), måling af bukkal og lingval knogletykkelse (27,28) måling af faciolingval interdental dimension (33), fractal dimensionsanalyse (32,33) og pixelintensitet (33).

#### **KLINISK RELEVANS**

Omkring 300.000 danskere har osteoporose. Sygdommen udgør derfor et stort samfundsmæssigt sundhedsproblem, ligesom de personlige omkostninger i form af smærter, funktionstab og hospitalsophold også er store. Men på trods af sygdommens udbredelse er det hverken praktisk eller økonominisk muligt at foretage befolkningsscreeninger. Tandlæger har dog mulighed for at identificere patienter med manifest osteoporose eller identificere patienter, som tilhører en højrisikogruppe. Identifikationen kan ske gennem både intraorale røntgenbilleder og panoramaradiogrammer, ligesom tandlægens hyppige patientkontakt og nogle simple spørgsmål kan bidrage til at identificere osteoporosepatienter.

#### **Diskussion**

Der er i årenes løb publiceret et betydeligt antal artikler om sammenhæng mellem dokumenteret osteoporose og lav BMD og radiografiske forandringer af kæberne.

Sammenligning af resultaterne vanskeliggøres af, at forskellige undersøgelser omfatter grupper af kvinder med forskellig menopausal status, forskellig alderssammensætning og forskellig tandstatus (tandløse/ betandede), ligesom der er anvendt forskellige kriterier og terminologi (41).

Osteoporose ytrer sig forskelligt i forskellige knogler afhængigt af disses sammensætning og opbygning. Mandiblen rummer fx mere kompakt knogle end maksillen (9). Remodellering af knogle finder i højere grad sted i trabekulær knogle end i kortikal knogle (35). Det er derfor et generelt problem, at måling af BMD i forskellige knogler, herunder kæberne i forhold til andre, viser forskellige resultater (30).

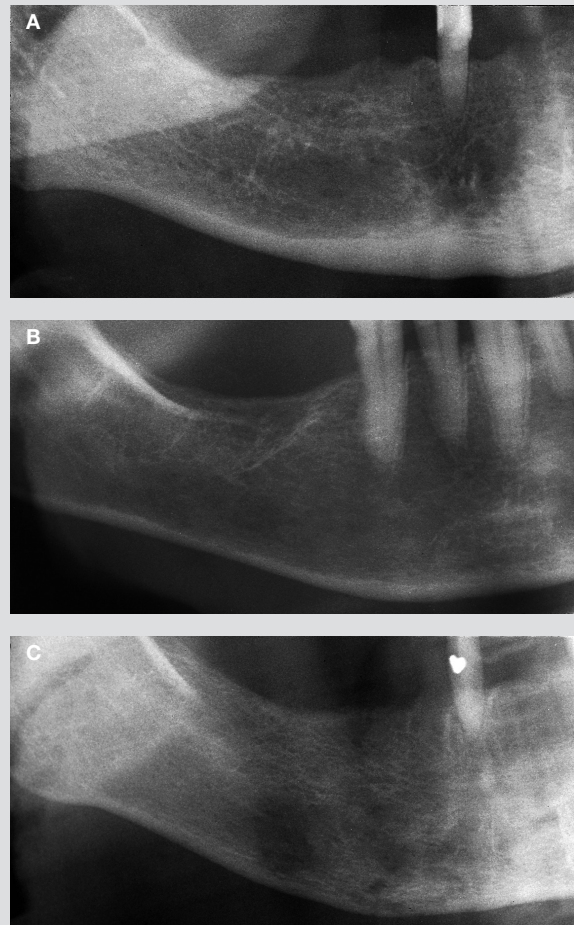
Isolerede afvigelser kan derfor ikke tillægges en sådan værdi, at de kan danne basis for definitive konklusioner. Det skal yderligere tages med i betragtning, at flere undersøgelser har vist betydelig interobservatørvariation (35,42).

OSTEODENT-projektet var et forsøg på at skabe klarhed over de mange forskelligartede resultater fra tidligere. Projektet viste, at tandlæger med en betydelig sikkerhed ud fra aflæsning af røntgenbilleder taget i tandlægepraksis har mulighed for at identificere patienter med manifest osteoporose eller lav BMD.

OSTEODENT-projektet viste, at en reduceret mandibulær basal cortex-bredde er en relativt sikker prædiktor for forekomst af osteoporose. En visuel aflæsning blev fundet mindst lige så sikker som en computerbaseret (25).

Hos raske kvinder er målt en gennemsnitlig bredde på 4,94 mm (variation 2,35-7,6 mm) (12). Ved en cut-off-værdi på 3 mm vil et betydeligt antal kvinder med eller i risiko for at udvikle osteoporose identificeres. Denne kortikalbredde anses derfor for grænseværdien for, hvilke patienter det vil være rimeligt at



**Radiografi**

**Fig. 1.** Eksempler på variation i bredde og struktur af den mandibulære basale cortex. Patienternes BMD-værdier er ukendte. De anførte mål er korrigeret for 33 % forstørrelse. A: 74-årig kvinde; kaudalt for foramen mentale måler den basale cortex 4,7 mm. B: 77-årig kvinde; kaudalt for foramen mentale måler den basale cortex 2,6 mm. C: 65-årig kvinde; den basale cortex viser resorptioner og porositeter.

**Fig. 1.** Examples of variation in width and structure of the mandibular basal cortex. BMD-values of the patients are unknown. Width measures stated are adjusted for 33 % image magnification. A: 74-year-old woman; caudally to the mental foramen the basal cortex measures 4,7 mm. B: 77-year-old woman; caudally to the mental foramen the basal cortex measures 2,6 mm. C: 65-year-old woman; the basal cortex exhibits erosions and porosities.

henvise til medicinsk udredning og evt. DEXA-undersøgelse (5,24,25,43) (Fig. 1A, B).

Objektive fund, som kan understøtte en mistanke, er en porøs mandibulær basal cortex og en stor- og finmasket spongiosastruktur (Fig. 1C).

Da kliniske indices har vist en høj prædictiv værdi (5,10), kan mistanken yderligere bestyrkes ved registrering og oplysning om kendte prædisponerende risikofaktorer: 1) høj alder, 2) lav kropsvægt, 3) spinkel kropsbygning, 4) familiær disposition, 5) tidlig menopause, 6) rygning, 7) høj alkoholforbrug, 8) såvel lav som overdrevne fysisk aktivitet, 9) længerevarende behandling med binyrebarkhormon, 10) tidlige frakter efter udramatiske fald og 11) hysterektomi (3).

**Slutbemærkning**

Der pågår fortsat en intens forskning på området. Siden OSTEODENT-projektet er udviklet et CAD-system (computer-aided diagnosis) til bedømmelse af mandibulær basal cortex-morfologi med høj prædictiv værdi (44). Der pågår et omfattende internationalt samarbejde i det japansk styrede Osteoporosis Screening Project (OSPD), som har publiceret resultater af undersøgelser udført med 69 observatører fra 16 lande (45). ■

**Abstract (English)***Identification in dental practice of patients with osteoporosis*

Osteoporosis is a disease affecting a great number of patients, particularly postmenopausal and elderly women. Results are frequent bone fractures, and the disease represents a great health burden.

Medical examinations are expensive and complicated, and screenings of the elderly female population are not feasible.

Dentists may contribute to the identification of women with osteoporosis or with a low bone mass density from observations on radiographs taken for other purposes combined with simple questioning. They may contribute to an early diagnosis of the disease and prevention of its serious consequences.

Correlation of dentomaxillofacial radiographic changes and osteoporosis have been investigated intensely, and lately in a large scale European collaborative project, the OSTEODENT-project.

The present survey article summarizes the methods of identifying patients with osteoporosis and with low “Bone Mineral Density” in dental practice with focus on the results of the OSTEODENT-project.

**Litteratur**

1. Sundhedsstyrelsen. Knogle-skørhed: fakta og forebyggelse. København: Sundhedsstyrelsen; 2005.
2. Mosekilde L, Kassem M. Calcium-metaboliske sygdomme og forstyrrelser i fosfat- og magnesium-stofskiftet. I: Hansen NE, Haunso S, de Muckadell OBS. Medicinsk kompendium. Bd. 2. København: Nyt Nordisk Forlag Arnold Busck, 2004; 2309-95.
3. Sundhedsstyrelsen. Osteoporose. Forebyggelse, diagnostik og behandling. København: Sundhedsstyrelsen, 2000.
4. White SC. Oral radiographic predictors of osteoporosis. *Dentomaxillofac Radiol* 2002; 31: 84-92.
5. Devlin H, Allen P, Graham J, Jacobs R, Nicopoulou-Karayanni K, Lindh C et al. The role of the dental surgeon in detecting osteoporosis: the OSTEOENT study. *Br Dent J* 2008; 204: E16, discussion 560-1.
6. Geraets WG, Verheij JG, van der Stelt PF, Horner K, Lindh C, Nicopoulou-Karayanni K et al. Prediction of bone mineral density with dental radiographs. *Bone* 2007; 40: 1217-21.
7. Wowern N von. Osteoporose i kærnerne. En litteraturoversigt. *Tandlægebladet* 2001; 105: 944-50.
8. WHO Study Group. Assessment of fracture risk and its implication to screening for postmenopausal osteoporosis. WHO Technical Report. Volume 843. Geneva: World Health Organization, 1984.
9. Hildebolt CF. Osteoporosis and oral bone loss. *Dentomaxillofac Radiol* 1997; 26: 3-15.
10. Cadarette SM, Jaglal SB, Kreiger N, McIsaac WJ, Darlington GA, Tu JV. Development and validation of the osteoporosis risk assessment instrument to facilitate selection of women for bone densitometry. *CMAJ* 2000; 162: 1289-94.
11. Cadarette SM, Jaglal SB, Murray TM, McIsaac WJ, Joseph L, Brown JP. Evaluation of decision rules for referring women for bone densitometry by dual-energy X-ray absorptiometry. *JAMA* 2001; 286: 57-63.
12. Horner K, Devlin H, Harvey L. Detecting patients with low skeletal bone mass. *J Dent* 2002; 30: 171-5.
13. Karayanni K, Horner K, Mitsea A, Berkas L, Mastoris M, Jacobs R et al. Accuracy in osteoporosis diagnosis of a combination of mandibular cortical width measurement on dental panoramic radiographs and a clinical risk index (OSIRIS): the OSTEOENT project. *Bone* 2007; 40: 223-9.
14. Salaffi F, Silveri F, Stancati A, Grassi W. Development and validation of the osteoporosis prescreening risk assessment (OPERA) tool to facilitate identification of women likely to have low bone density. *Clin Rheumatol* 2005; 24: 203-11.
15. Koh LK, Sedrine WB, Torralba TP, Kung A, Fujiwara S, Chan SP et al. A simple tool to identify Asian women at increased risk of osteoporosis. *Osteoporos Int* 2001; 12: 699-705.
16. Richy F, Gourlay M, Ross PD, Sen SS, Radican L, de Ceulaer F et al. Validation and comparative evaluation of the osteoporosis self-assessment tool (OST) in a Caucasian population from Belgium. *QJM* 2004; 97: 39-46.
17. Sedrine WB, Chevallier T, Zegels B, Kvasz A, Micheletti MC, Gelas B et al. Development and assessment of the osteoporosis index of risk (OSIRIS) to facilitate selection of women for bone densitometry. *Gynecol Endocrinol* 2002; 16: 245-50.
18. Lydick E, Cook K, Turpin J, Melton M, Stine R, Byrnes C. Development and validation of a simple questionnaire to facilitate identification of women likely to have low bone density. *Am J Manag Care* 1998; 4: 37-48.
19. Black DM, Palermo L, Abbott T, Johnell O. SOFSURF: A simple, useful risk factor system can identify the large majority of women with osteoporosis. *Bone* 1998; 23: S605.
20. Horner K, Devlin H. The relationship between mandibular bone mineral density and panoramic radiographic measurements. *J Dent* 1998; 26: 337-43.
21. Lee K, Taguchi A, Ishii K, Suei Y, Fujita M, Nakamoto T et al. Visual assessment of the mandibular cortex on panoramic radiographs to identify postmenopausal women with low bone mineral densities. *Oral Surg Oral Med Oral Pathol Oral Radiol Endod* 2005; 100: 226-31.
22. Allen PD, Graham J, Farnell DJ, Harrison EJ, Jacobs R, Nicopoulou-Karayanni K et al. Detecting reduced bone mineral density from dental radiographs using statistical shape models. *IEEE Trans Inf Technol Biomed* 2007; 11: 601-10.
23. Vlasiadis KZ, Skouteris CA, Velegakis GA, Fragouli I, Neratzoulakis JM, Damilakis J et al. Mandibular radiomorphometric measurements as indicators of possible osteoporosis in postmenopausal women. *Maturitas* 2007; 58: 226-35.
24. Devlin H, Karayanni K, Mitsea A, Jacobs R, Lindh C, van der Stelt P et al. Diagnosing osteoporosis by using dental panoramic radiographs: the OSTEOENT project. *Oral Surg Oral Med Oral Pathol Oral Radiol Endod* 2007; 104: 821-8.
25. Devlin H, Allen PD, Graham J, Jacobs R, Karayanni K, Lindh C et al. Automated osteoporosis risk assessment by dentists: a new pathway to diagnosis. *Bone* 2007; 40: 835-42.
26. Arifin AZ, Asano A, Taguchi A, Nakamoto T, Ohtsuka M, Tsuda M et al. Computer-aided system for measuring the mandibular cortical width on dental panoramic radiographs in identifying postmenopausal women with low bone mineral density. *Osteoporos Int* 2006; 17: 753-9.
27. Klemetti E, Kolmakow S. Morphology of the mandibular cortex on panoramic radiographs as an indicator of bone quality. *Dentomaxillofac Radiol* 1997; 26: 22-5.
28. Naitoh M, Kuros Y, Inagaki K, Katsumata A, Noguchi T, Ariji E. Assessment of mandibular buccal and lingual cortical bones in postmenopausal women. *Oral Surg Oral Med Oral Pathol Oral Radiol Endod* 2007; 104: 545-50.
29. Klemetti E, Kolmakov S, Kröger H. Pantomography in assessment of the osteoporosis risk group. *Scand J Dent Res* 1994; 102: 68-72.
30. Benson BW, Prihoda TJ, Glass BJ. Variations in adult cortical bone mass as measured by a panoramic mandibular index. *Oral Surg Oral Med Oral Pathol* 1991; 71: 349-56.
31. Klemetti E, Kolmakov S, Heiskanen P, Vainio P, Lassila V. Panoramic mandibular index and bone mineral densities in postmenopausal women. *Oral Surg Oral Med Oral Pathol* 1993; 75: 774-9.
32. Ya ar F, Akgünlü F. The differences in panoramic mandibular indices and fractal dimension between patients with and without spinal osteoporosis. *Dentomaxillofac Radiol* 2006; 35: 1-9.
33. Jonasson G, Kiliaridis S, Gunnarsson R. Cervical thickness of the mandibular alveolar process and skeletal bone mineral density. *Acta Odontol Scand* 1999; 57: 155-61.
34. Tosoni GM, Lurie AG, Cowan AE, Burleson JA. Pixel intensity and fractal analyses: detecting osteoporosis in perimenopausal and postmenopausal women by using digital panoramic images. *Oral Surg Oral Med Oral Pathol Oral Radiol Endod* 2006; 102: 235-41.
35. Lindh C, Horner K, Jonasson G, Olsson P, Rohlin M, Jacobs R et al. The use of visual assessment of dental radiographs for identifying women at risk of having osteoporosis: the OSTEOENT project. *Oral Surg Oral Med Oral Pathol Oral Radiol Endod* 2008; 106: 285-93.
36. Geraets WG, Verheij JG, van der Stelt PF, Horner K, Lindh C, Nicopoulou-Karayanni K et al. Osteoporosis and the general dental practitioner: reliability of some digital dental radiological measures. *Community Dent Oral Epidemiol* 2007; 35: 465-71.
37. Geraets WG, Verheij JG, van der Stelt PF, Horner K, Lindh C, Nicopoulou-Karayanni K et al. Selecting regions of interest on intraoral radiographs for the prediction of bone mineral density. *Dentomaxillofac Radiol* 2008; 37: 375-9.
38. White SC, Rudolph DJ. Alterations of the trabecular pattern of the jaws in patients with osteoporosis. *Oral Surg Oral Med Oral Pathol Oral Radiol Endod* 1999; 88: 628-35.
39. Horner K, Karyanni K, Mitsea A, Berkas L, Mastoris M, Jacobs R et al. The mandibular cortex on radiographs as a tool for osteoporosis risk assessment: the OSTEO-DODENT project. *J Clin Densitom* 2007; 10: 138-46.
40. Nackaerts O, Jacobs R, Devlin H, Pavitt S, Bleyen E, Yan B et al. Osteoporosis detection using intraoral densitometry. *Dentomaxillofac Radiol* 2008; 37: 282-7.
41. Ledgerton D, Horner K, Devlin H, Worthington H. Radiomorphometric indices of the mandible in a British female population. *Dentomaxillofac Radiol* 1999; 28: 173-81.
42. Devlin CV, Horner K, Devlin H. Variability in measurement of radiomorphometric indices by general dental practitioners. *Dentomaxillofac Radiol* 2001; 30: 120-5.
43. Devlin H, Horner K. Diagnosis of osteoporosis in oral health care. *J Oral Rehabil* 2008; 35: 152-7.
44. Nakamoto T, Taguchi A, Ohtsuka M, Suei Y, Fujita M, Tsuda M et al. A computer-aided diagnosis system to screen for osteoporosis using dental panoramic radiographs. *Dentomaxillofac Radiol* 2008; 37: 274-81.
45. Taguchi A, Asano A, Ohtsuka M, Nakamoto T, Suei Y, Tsuda M et al. Observer performance in diagnosing osteoporosis by dental panoramic radiographs: results from the osteoporosis screening project in dentistry (OSPD). *Bone* 2008; 43: 209-13.